

سلوكيات عبوات التربة الجبسية المثبتة بالنورة تحت تأثير الأحمال الساكنة

عبدالرحمن هاني طه الزبيدي

مدرس مساعد

د. محمد طيب حسين الليلة

أستاذ

كلية الهندسة - جامعة الموصل

الخلاصة

يهدف هذا البحث إلى دراسة منحنيات الإجهاد-الانفعال، للتربة جبسية تعرضت إلى اجهادات شد. حيث تم معاملة التربة بنسبة (3%) نورة وهي النسبة المفضلة ثم حضرت نماذج بأبعاد (50 × 50 × 300) وبطريقة الرص المعدلة وبمحتوى رطوبى يمثل الجانب الجاف والأمثل ثم الرطب من منحني الرص. بعدها تم إضاج النماذج بدرجة الحرارة (C 25°, 49, 60) ولفتره (180, 90, 30, 15, 2) يوم. جرى تحليل النتائج التي تم الحصول عليها من فحص الانشاء وباستعمال ثلاث طرائق للتحليل، هي الطريقة المرنة، الطريقة المباشرة، والطريقة التفاضلية. كانت نتائج مقاومة الشد وحسب الطريقة المرنة والطريقة المباشرة وبصورة عامة متقاربة. في حين كانت مقاومة الشد المحسوبة بالطريقة التفاضلية أقل من الطريقتين السابقتين. كذلك كانت منحنيات الإجهاد-الانفعال التي تم الحصول عليها من الطريقة المرنة منتظمة، في حين كانت المنحنيات غير منتظمة عند حسابها بالطريقة المباشرة والطريقة التفاضلية، ماعدا منحنيات النماذج التي تم رصها عند المحتوى الرطوبى الذي يمثل الجانب الجاف من منحني الرص فقد كانت منتظمة.

Behavior of Lime Stabilized Gypseous Soil Beams Under static Loads

M. T. Al- Layla
Professor

A. H. Al – Zubaydi
Ass. Lecture

University of Mosul – College of Engineering

Abstract

This work aims to study the stress-strain curves of soil samples subjected to tensile stress. The samples (50*50*300 mm) were prepared from lime stabilized gypseous soil using (3%) lime as stabilization percent. The samples were cured at (25,49 and 60°C) for a period of (2,15,30,90 and 180) days. The results obtained from flexural tensile tests were analyzed using three methods of analysis. These methods are, the elastic bending theory, direct, and differential method. The elastic and the direct methods gave, generally similar results of the soil flexural tensile stress while the differential method gave lower values. Also the tensile stress-strain curves obtained by the elastic method were consistent, while the curves from direct and differential methods are in consistent, with the exception of the samples compacted at the dry side of the compaction curve.

1 - المقدمة

تتميز التربة في حالتها الطبيعية بضعف مقاومتها الشديدة مقارنة مع المقاومة الانضغاطية [1]. إذ إن اجهادات الشد التي يمكن أن تتوارد في المنشآت الترابية خاصة في السدود والسداد الترابية، والطرق متعددة الطبقات، قد تؤدي إلى فشل هذه المنشآت إذا كانت قيم هذه الاجهادات أعلى من مقاومة الشد للتربة.

إن الاجهادات المسلطة على طبقات الطريق تؤدي إلى ظهور عيوب على سطح الطريق، تتمثل بانتشار التشققات وربما التموجات وفي بعض الأحيان يحصل هبوط في بعض أجزائه، إذا كانت مقاومة طبقات الطريق (طبقة الأرض الطبيعية Sub grade ، طبقة ماتحت الأساس Sub base وطبقة الأساس Base) غير مناسبة [2]. في حالة تجاوز هذه الاجهادات لقيم اجهادات الشد لطبقات الطريق تبدأ التشققات بالانتشار داخل هذه الطبقات ضعف في قوة تحملها، مما يؤثر في الطبقة التي تحتها وقد يؤدي هذا إلى حدوث فشل في الطريق [5,4,3]. في هذا البحث تمت دراسة سلوكية من حيث الإجهاد-الانفعال لترابة جبسية ذات محتوى جبسي (35%) من منطقة المحلية قرب مدينة الموصل، مثبتة بنسبة (3%) نورة وتم إجراء فحص الانثناء (Flexural Tensile Test) وتحليل النتائج باستخدام الطريقة المرنة (Elastic Bending Theory Method) والطريقة المباشرة (Direct Method) والطريقة التقاضلية (Differential Method).

2 - المواد وطرق العمل

1-2 التربة

اختيرت التربة المستخدمة في هذه الدراسة من منطقة المحلية التي تقع في الجزء الجنوبي الغربي من مدينة الموصل، وتحديداً قرب المركز الصحي من عمق يتراوح بين (3-2.5) متر. الجدول (1) يوضح بعض الخصائص الدليلية والكيميائية لهذه التربة والتي أجريت حسب مواصفات (ASTM).

2-2 النورة

تم في هذا البحث استعمال النورة المطفأة Hydrated Lime $\text{Ca}(\text{OH})_2$ والتي تم الحصول عليها من مجمع المشراق في محافظة نينوى ويبين الجدول (2) التركيب الكيميائي للنورة المستعملة، إذ كانت من نوع Grade B حسب ما ذكر في نظام الإدارة العامة الأمريكية للطرق (AASHTO T - 72 - 219).

2-3 الماء

في هذا البحث تم استعمال ماء الإسالة في جميع التجارب إلا ما نصت عليه المواصفات باستخدام الماء المقطر Distilled water .

- تحضير وإنضاج النماذج المثبتة بالنورة.

تم إيجاد نسبة النورة المثلثى (Optimum Lime Percent) وذلك حسب طريقة الينويز (Illinois Procedure) والتي تعتمد على نتائج فحص الانضغاط غير المحسور [6]، وكانت النسبة (63%). تم تحضير نماذج التربة المثبتة بالنسبة المثلثى للنورة عند ثلاثة نسب مختلفة من المحتوى الرطوبى هي: المحتوى الرطوبى للأمثل (O.M.C) ، والمحتوى الرطوبى ($O.M.C \pm 2\%$) الذي يمثل الجانب الجاف والرطب من منحي الرص، بعد ذلك تم تغليفها وتعرضها لظروف الإنضاج المختلفة وهي (180,90,30,15,2) يوم وعند درجات حرارة مختلفة (60,49,25) درجة مئوية.

الجدول (1) خواص التربة الطبيعية

القيمة (Value)	الخاصية (Property)	
35	نسبة الجبس (%)	
1.32	نسبة أملاح الكبريتات (%) (SO_3)	
0.284	محتوى المواد العضوية (%)	
2.41	الوزن النوعي (Gs)	
NP	حد السيولة (L.L) (%)	حدود أتربرك
NP	حد اللدونة (P.L) (%)	
-----	دليل اللدونة (P.I) (%)	
7.28	الرقم البيدروجيني (pH)	
74	نسبة الرمل (%)	الدرج الحبيبي للترفة المغسولة بواسطة EDTA
11	نسبة الغرين (%)	
15	نسبة الطين (%)	
74	نسبة الرمل (%)	الدرج الحبيبي للترفة المغسولة بواسطة الماء المقطر
16	نسبة الغرين (%)	
10	نسبة الطين (%)	
SC-SM	نظام التصنيف الموحد	تصنيف الترفة
A -3 (0)	نظام الإدارة العامة الأمريكية للطرق	

الجدول (2) التركيب الكيميائي للنورة

H_2O	MgO	SiO_2	Fe_2O_3	Al_2O_3	CaCO_3	CaO	Ca(OH)_2	المكونات
0.08	3.89	11.36	0.05	0.16	5.53	6.43	72.5	النسبة (%)

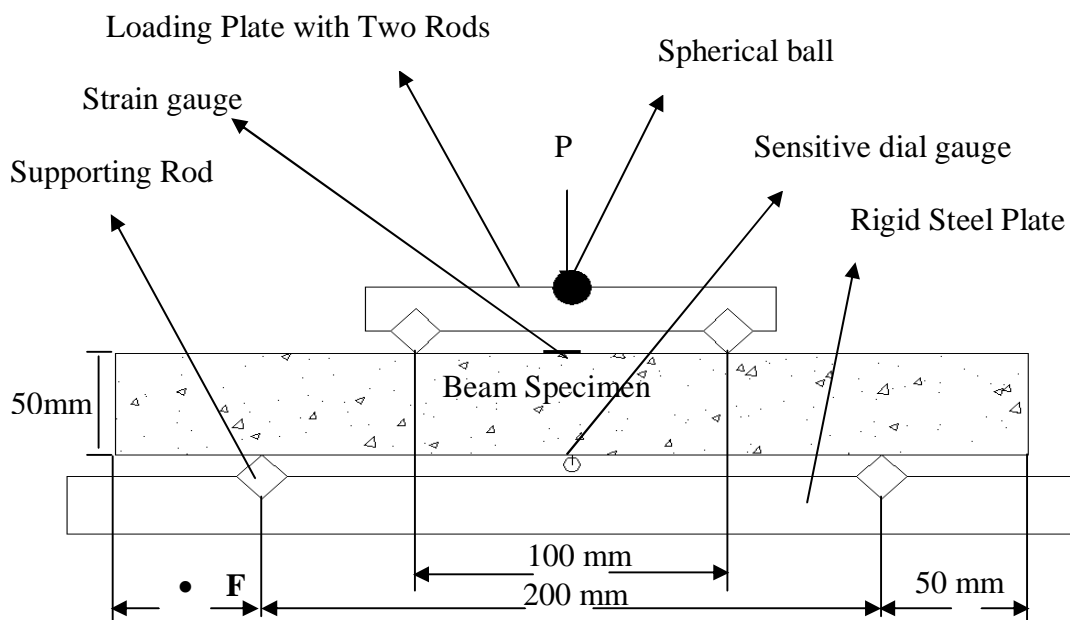
3- فحص الانشاء

1- تحضير النماذج

استخدم قالب معدني مستطيل الشكل بأبعاد (300*50*50 mm) ذي جوانب منزلاقة لتحضير النماذج، إذ تم رص التربة فيه لتحطيم طاقة الرص المعدلة (Modified Compacted Effort) . بعد إكمال عملية الرص يستخرج النموذج من داخل القالب ويغلف بكيس بلاستيكي إلى أن يتم فحصه لمنع فقدان الرطوبة، هذا بالنسبة لنماذج التربة الطبيعية. أما بالنسبة للنماذج المثبتة بنسبة التثبيت المثلثى بالنورة (3%) تم تعریضها لظروف الإنضاج المختلفة وكما ذكر سابقاً.

2- إجراء فحص الانثناء.

تم فحص النماذج التي هي على شكل عتبة (Beam) حسب الطريقة المذكورة في المواصفات البريطانية (B.S. 1881 Part 118)، وذلك باستخدام نقطتي تحميل (Two Point Loading) للحصول على عزم ذي مقدار ثابت في منطقة التحميل الوسطية والتي كانت بمسافة (100 mm). تم تسلیط الحمل على النماذج وبسرعة تحمل تساوي (0.254 mm/min) وتم اخذ قراءات الأود (Deflection) عند كل (30) ثانية. تم قياس الأود (Deflection) الحاصل في النموذج خلال فحص الانثناء، إذ لصقت قطعة زجاجية مستطيلة الشكل ذات سمك مناسب في المنطقة الوسطى السفلية للنموذج (أسفل مركز النموذج) وتم استخدام Dial Gauge بحساسية تساوي (0.002 mm/div) للحصول على قراءات دقيقة تستخدم لحساب مقدار الانفعال الحاصل في منطقة الشد وحسب الطريقة المرنة (Elastic Bending Theory Method) المستخدمة في التحليل. الصورة (1) توضح الرسم التخطيطي لطريقة فحص الانثناء.



الصورة (1) رسم تخطيطي يوضح طريقة فحص الانثناء(Flexural Test)

4- طرائق تحليل الإجهاد في العتبة.

إن تحليل الإجهاد الحاصل في العتبة خلال فحص الانثناء يمكن أن يتم باستخدام ثلاثة طرائق للتحليل [7] هذه الطرائق هي:-

1. الطريقة المباشرة Direct Method
2. الطريقة التفاضلية Differential Method
3. الطريقة المرنة Elastic Bending Theory Method

استخدمت الطرائق أعلاه لحساب إجهاد الشد (Tensile Stress) الذي يحصل في أسفل العتبة وإجهاد الانضغاط (Compressive Stress) الذي يحصل في أعلى العتبة خلال تسلیط عزم الانحناء. بالنسبة لكل من الطريقة الأولى والثانية من طرائق التحليل، تم حساب الإجهاد من خلال العزم المسلط على العتبة ومن خلال الانفعال (Strain)

المقاس في منطقة الشد ومنطقة الانضغاط، والذي تم باستخدام مقاييس الانفعال (Electrical Strain Gauges) وجهاز قياس الانفعال (Strain Meter) وكان الرابط بين هذه المقاييس من نوع (Half Bridge). أما بالنسبة للطريقة الثالثة، فقد تم حساب الاجهادات والانفعالات في كل من منطقة الشد ومنطقة الانضغاط من خلال العزم المسلط على العتبة ومن خلال الأود (Deflection) المقاس عند منتصف العتبة.

4-1 الطريقة المباشرة

في هذه الطريقة تم افتراض بقاء المقاطع المستوية (Plane sections) على حالتها حتى بعد تسلیط العزم (أي لا يحصل بها انحصار)، هذا يعني إن الإجهاد يتغير خطياً تبعاً للانفعال، ولكن معامل التشوه (Deformation Modulus) في منطقة الشد يمكن أن يختلف عنه في منطقة الضغط وذلك لأن المحور المتعادل (Neutral axis) ليس بالضرورة أن يكون في منتصف ارتفاع العتبة، كذلك تم افتراض عدم حصول زحف (Creep) خلال عملية الانحناء (Bending) بالنسبة لـ إجهاد الشد (σ_t) وإجهاد الضغط (σ_c) يمكن حسابهما من المعادلات الآتية [7]:-

$$\sigma_t = \frac{3M(\varepsilon_c + \varepsilon_t)}{bh^2\varepsilon_t} \quad (1)$$

$$\sigma_c = \frac{3M(\varepsilon_c + \varepsilon_t)}{bh^2\varepsilon_c} \quad (2)$$

إذ أن

$$\begin{aligned} \varepsilon_t &= \text{انفعال الشد} & \sigma_c &= \text{مقاومة الانضغاط} \\ \varepsilon_c &= \text{انفعال الضغط.} & \sigma_t &= \text{مقاومة شد الانثناء.} \\ h &= \text{ارتفاع النموذج.} & b &= \text{عرض النموذج.} \\ M &= \text{العزم المسلط.} & & \end{aligned}$$

4-2 الطريقة التفاضلية

لحساب مقدار الاجهادات الحاصلة في العتبة باستخدام الطريقة التفاضلية، تم افتراض بقاء المقاطع المستوية (Plane sections) على حالتها حتى بعد تسلیط العزم، كذلك تم افتراض عدم حصول أي زحف (Creep) خلال تسلیط العزم وحصول انحصار للعتبة. بالنسبة للعلاقة بين الإجهاد والانفعال لم تكن هناك علاقة خطية بينهما، وإن الإجهاد الحاصل في العتبة بسبب العزم المسلط هو دالة للانفعال الخطى (ε) والذي ليس بالضرورة أن يكون نفسه في منطقة الشد ومنطقة الضغط، هذا يعني أن العلاقة بين الإجهاد والانفعال يمكن تمثيلها بالمعادلة الآتية:

$$\sigma = f(\varepsilon) \quad (3)$$

بالنسبة لـ إجهاد الشد (σ_t) وإجهاد الضغط (σ_c) يمكن حسابهما من المعادلات الآتية [7]:-

$$\sigma_c = \frac{1}{\varepsilon_c + \varepsilon_t} \frac{\partial}{\partial \varepsilon_c} (X) \quad (4)$$

$$\sigma_t = \frac{1}{\varepsilon_c + \varepsilon_t} \frac{\partial}{\partial \varepsilon_t} (X) \quad (5)$$

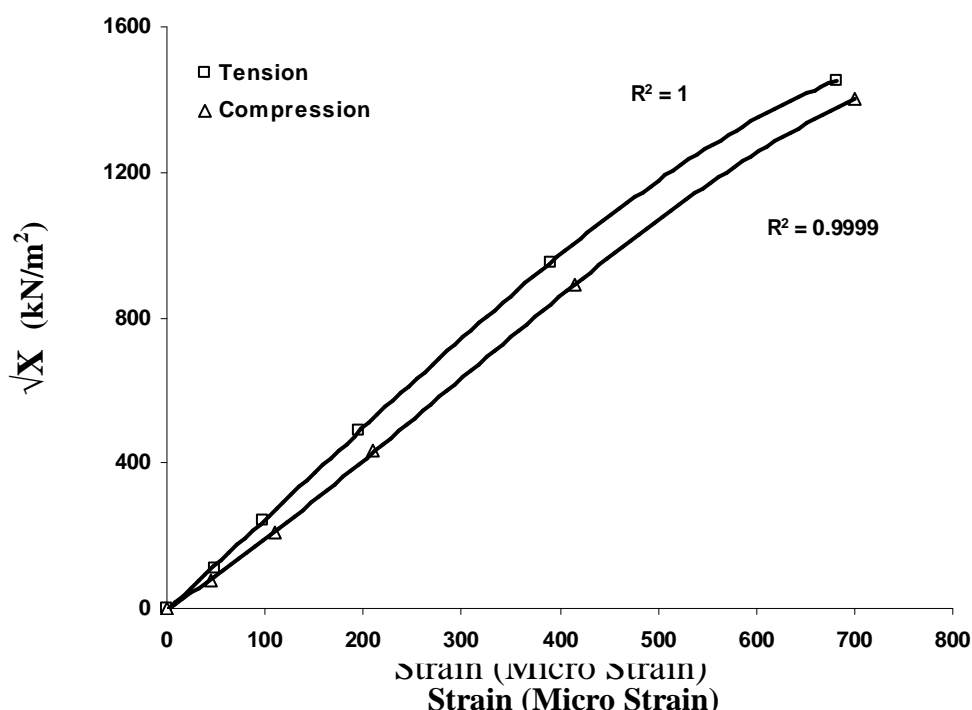
$$X = \frac{M (\varepsilon_c + \varepsilon_t)^2}{b d^2} \quad (6)$$

نلاحظ من خلال المعادلات أعلاه أن الحاجة إلى الاشتراق يتم لمرة واحدة، لكي يتم حساب كل من إجهاد الشد (σ_t) وإجهاد الضغط (σ_c) من القيم العملية للعزم (M) وقيمة كل من انفعال الشد (ε_t) وانفعال الضغط (ε_c) ، إذ يمكن ذلك باستعمال الوسائل البيانية (Graphical Means) . إن تغيير قيم (X) مع قيمة انفعال الشد (ε_t) وانفعال الضغط (ε_c) في هذه المعادلات يعطي قيمةً عاليةً جداً بحيث لا يمكن رسمها على مقياس رسم طبيعي ثم اشتراقها، لذلك تم رسم كل من انفعال الشد (ε_t) وانفعال الضغط (ε_c) مع قيمة الجذر التربيعي لـ (X) ، إذ أعطت منحنيات مقبولة وكما مبين في الشكل (1).

إن الاشتراق البياني تم برسم مماس عند النقاط المعنية، وتم حساب قيمة كل من $\left[\frac{\partial}{\partial \varepsilon_t} \right] \sqrt{X}$ وقيمة $\left[\frac{\partial}{\partial \varepsilon_c} \right] \sqrt{X}$ ثم ضربها في القيمة $(2\sqrt{X})$. بعد ذلك نقوم بتعويض هذه القيم في المعادلات لحساب إجهاد الشد وإجهاد الضغط.

4-3 الطريقة المرنة

هذه الطريقة مبنية على فرضيات عده منها: المقاطع المستوية في العتبة تبقى مستوية حتى بعد حصول الانحناء، وان معامل المرونة له نفس القيمة في الشد والضغط، هذا يعني إن الإجهاد يتغير خطياً تبعاً لانفعال. كذلك يفترض بأنه لا يحدث أي انفعال ما لم تزداد قيمة الإجهاد المسلط على العتبة، بصورة أخرى لا يحدث أي زحف (Creep) خلال تسليط عزم الانحناء. بالنسبة لاجهادات الشد والضغط وما يقابلها من انفعالات يمكن أن تحسب من خلال المعادلات الآتية [7]:



الشكل (1) العلاقة بين الانفعال والجذر التربيعي لـ (X)

$$\sigma_{t,c} = \frac{6M}{bd^2} \quad (7)$$

$$\varepsilon_{t,c} = \frac{48 * \delta * M * C}{Pb(3L^2 - 4b^2)} \quad (8)$$

إذ:

δ = مقدار الأود (Deflection) المقاس أسفل المنطقة الوسطى للعتبة.
 M = العزم المسلط على العتبة.
 P = الحمل المسلط على العتبة.
 L = المسافة بين نقطتي الإسناد.
 C = نصف مقدار ارتفاع العتبة ($d/2$).

5- النتائج ومناقشتها

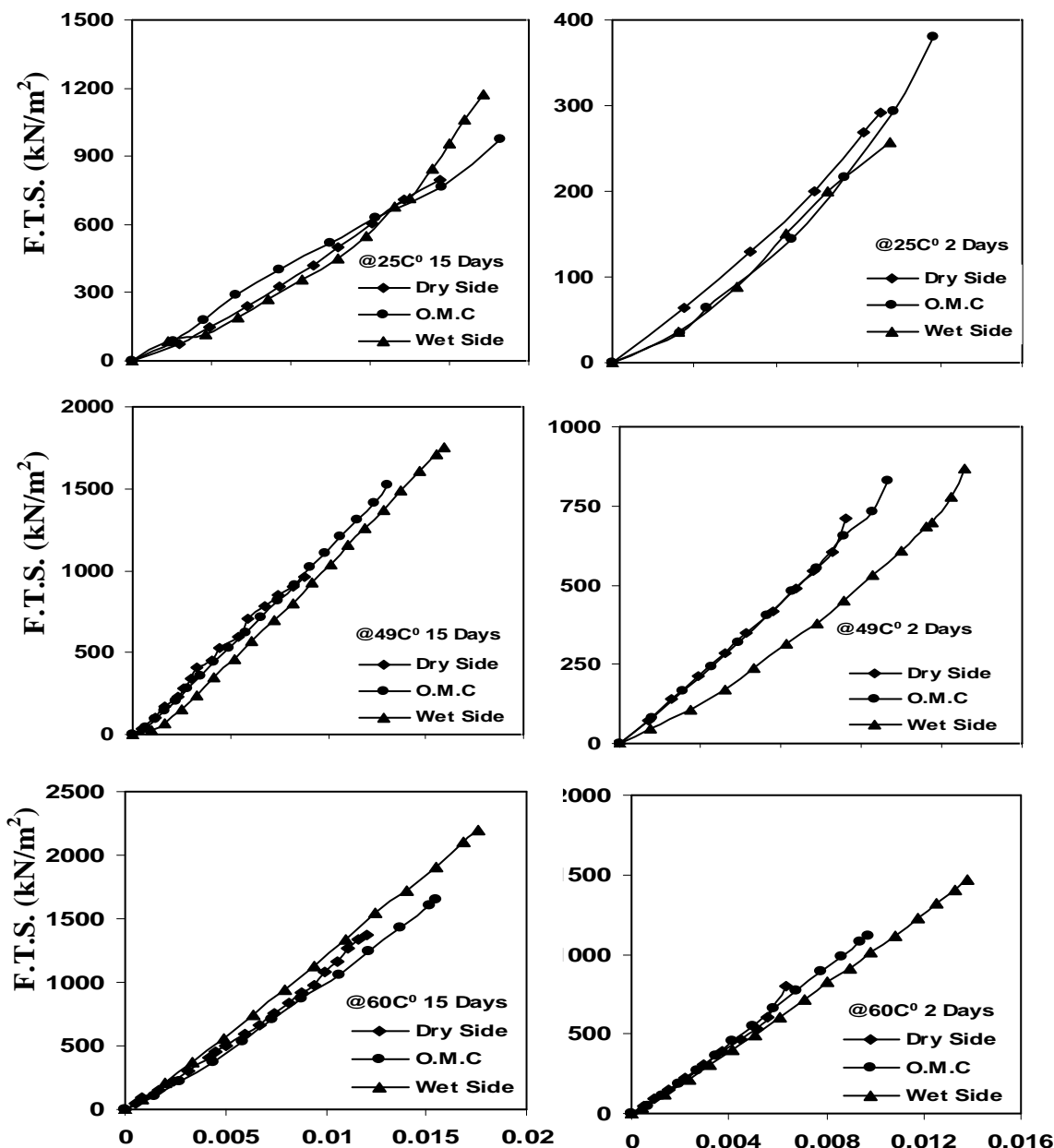
5-1 مقاومة الشد ومحنيات الإجهاد-الانفعال

تم حساب مقاومة شد الانثناء للتربة المعاملة بنسبة النورة المثلثي (3%) وفي ظروف إنصاج مختلفة وكذلك لقيم محتوى رطوبى مختلف، باستخدام ثلاث طرائق هي: الطريقة المباشرة (Direct Method)، الطريقة التفاضلية (Differential Method)، والطريقة المرنة (Elastic Bending Theory Method). أعطت كل طريقة من هذه الطرائق قيم مختلفة لمقاومة شد الانثناء، وذلك لأن كل طريقة لها فرضياتها في هذه الحسابات.

بالنسبة للطريقة المرنة، توضح الأشكال (4-2) علاقة خطية تقريباً بين كل من الإجهاد والانفعال ولكلفة ظروف الإنصالج، تبين الأشكال أن العلاقة تقترب من كونها خطية كلما زادت درجة حرارة أو فترة الإنصالج. الأشكال (7-8) (9-5) تبين العلاقة بين الإجهاد-الانفعال بالطريقة المباشرة والطريقة التفاضلية على التوالي، إن العلاقة بين الإجهاد والانفعال وكلتا الطريقتين تميزت بكونها علاقة غير منتظمة، هذا بسبب قيم إجهاد الشد المحسوب والذي يعتمد بصورة أساسية على قيم الانفعال المقاس في كل من منطقة الشد والضغط، كذلك الفرضيات المبنية عليها هذه الطرائق والتي لا تشترط كون العلاقة بين الإجهاد والانفعال هي علاقة خطية. أظهرت الأشكال أن منحني الإجهاد-الانفعال للنمذج المرصوصة عند المحتوى الرطوبى الذي يمثل الجانب الجاف من منحني الرص والمحسوب بالطريقتين كان أكثر انتظاماً من منحنيات الإجهاد-الانفعال للنمذج المرصوصة عند قيم الرطوبه الأخرى، ربما السبب هو أن النماذج ذات الرطوبه العالية نسبياً يحدث فيها إعادة ترتيب لجزيئاتها أثناء تسليط الحمل وذلك لسهولة انزلاق الجزيئات، وهذا بدوره يعطي شكل منحني الإجهاد-الانفعال شكل غير منتظم.

لمقارنة طرائق التحليل فيما بينها، يلاحظ أن منحنيات الإجهاد-الانفعال التي تم الحصول عليها من الطريقة المباشرة والطريقة التفاضلية، كانت منحنيات غير منتظمة (Irregular Shapes of Stress-Strain Curves) وهذه المنحنيات ليست مشابهة للمنحنيات التي تم الحصول عليها من الطريقة المرنة، والتي تميزت بكونها منحنيات منتظمة (Regular Stress-Strain Curves) أو بعبارة أخرى منحنيات خطية (Linear Stress-Strain Curves). إن سبب عدم انتظام منحنيات الإجهاد-الانفعال في كل من الطريقة المباشرة والطريقة التفاضلية، هو حصول بعض التغيرات العشوائية في قراءات الانفعال، فضلاً عن ذلك ساعدت عملية الاشتراق اللازمة لحساب إجهاد الشد في الطريقة التفاضلية على زيادة عدم الانظام الحاصل في هذه المنحنيات، توصل إلى نتائج مشابهة كل من [9,8]. كذلك بينت النتائج السابقة وبصورة عامة أن الطريقة المرنة (Elastic Bending Theory Method) والطريقة المباشرة (Direct Method)، أعطت قيم مقاربة فيما بينها لمقاومة شد الانثناء وبغض النظر عن ظروف الإنصالج وقيم الرطوبه المختلفة، في حين أعطت الطريقة التفاضلية (Differential Method) قيم أقل لمقاومة الشد، هذا لأن هذه الطريقة تسمح بإعادة توزيع بعض الإجهادات (Redistribution of Stresses) [4]. وجذ التمثيل

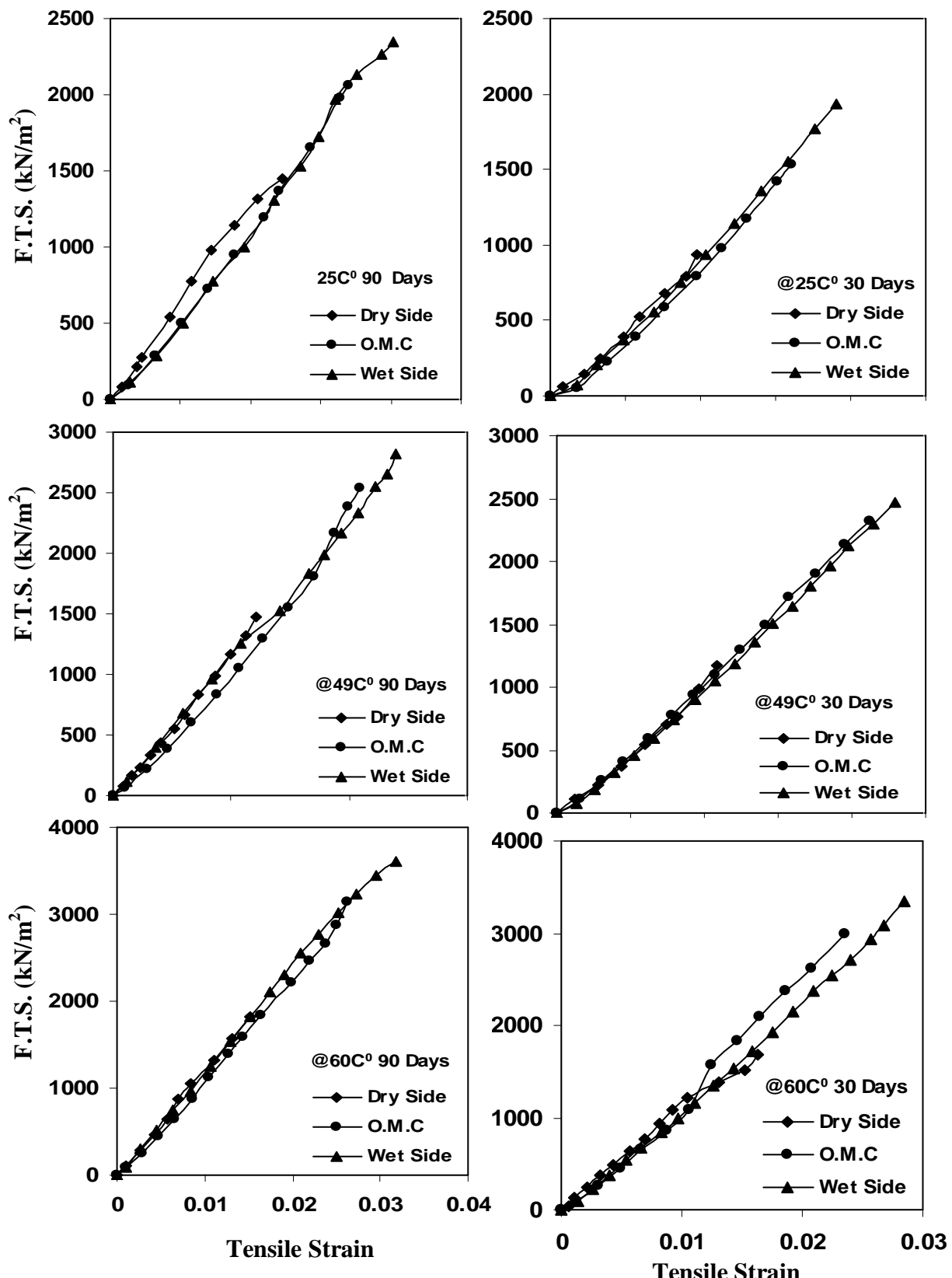
الرياضي لقيم الإجهاد المحسوب بالطريق الموصدة عند الجانب الجاف من منحني الرص الذي يعطي علاقة منتظمة بين الإجهاد-الانفعال مقارنةً مع قيم الرطوبة الأخرى، وعند ظروف الإنضاج المختلفة. يبين الجدول (3) معادلات هذه العلاقات، إذ كانت معادلة العلاقة مقاومةً لـ الانشاء للنماذج المنضجة بدرجة حرارة $(60C^0)$ والمحسوبة بالطريق الموصدة من نوع دالة متعددة الحدود، في حين كانت من نوع دالة لوغاريمية للنماذج المنضجة بدرجة حرارة $(49C^0)$ ومن نوع دالة أسيّة للنماذج المنضجة بدرجة حرارة $(25C^0)$ محسوبة بالطريق المباشرة والطريق التفاضلية، كذلك كان معامل الارتباط لهذه المعادلات يتراوح بين $(99.99-81.59\%)$.



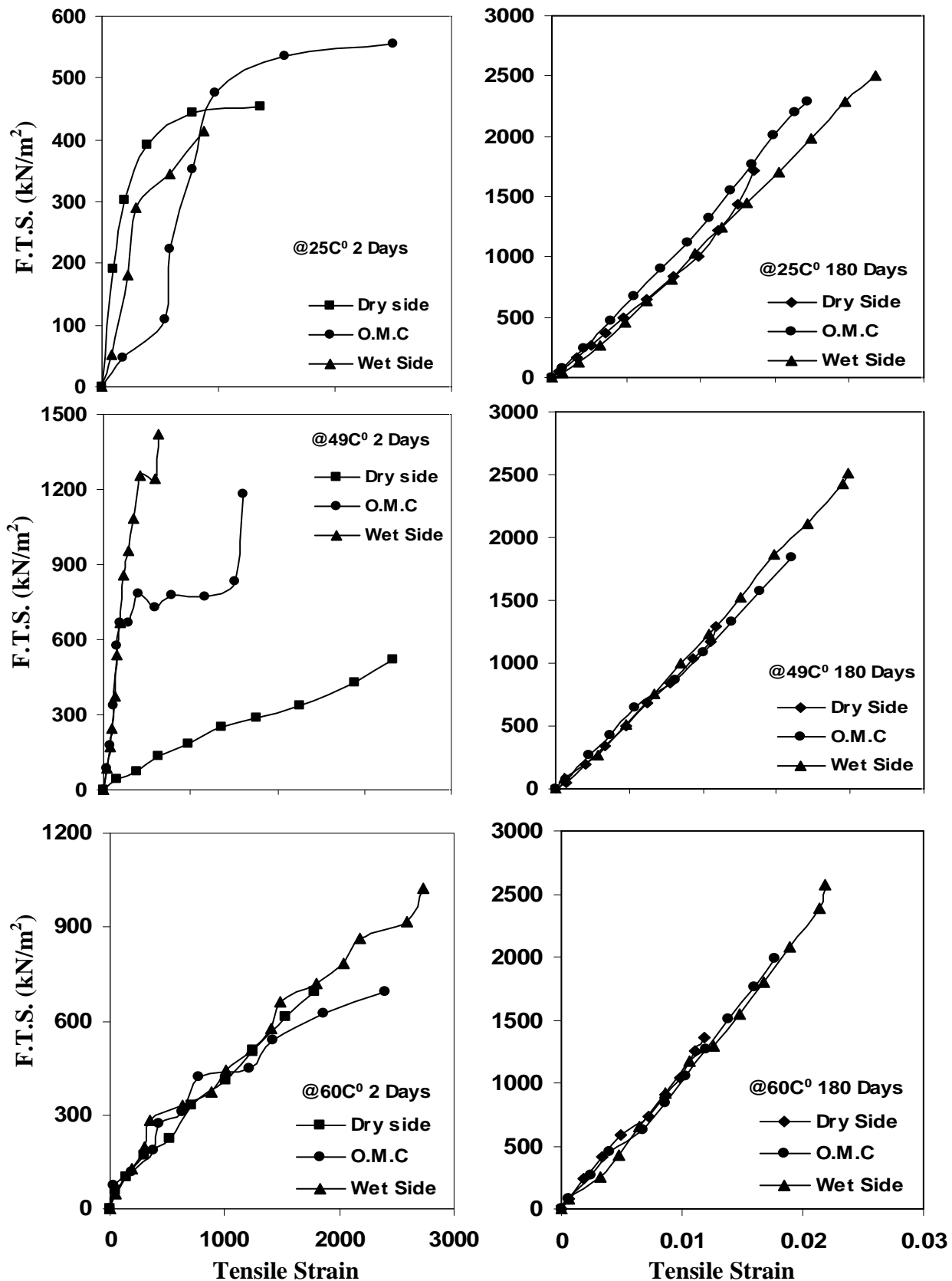
- F.T.S = Flexural Tensile Stress
Tensile Strain

Tensile Strain

الشكل (2) منحنيات الإجهاد-الانفعال (حسب الطريقة المرنة)

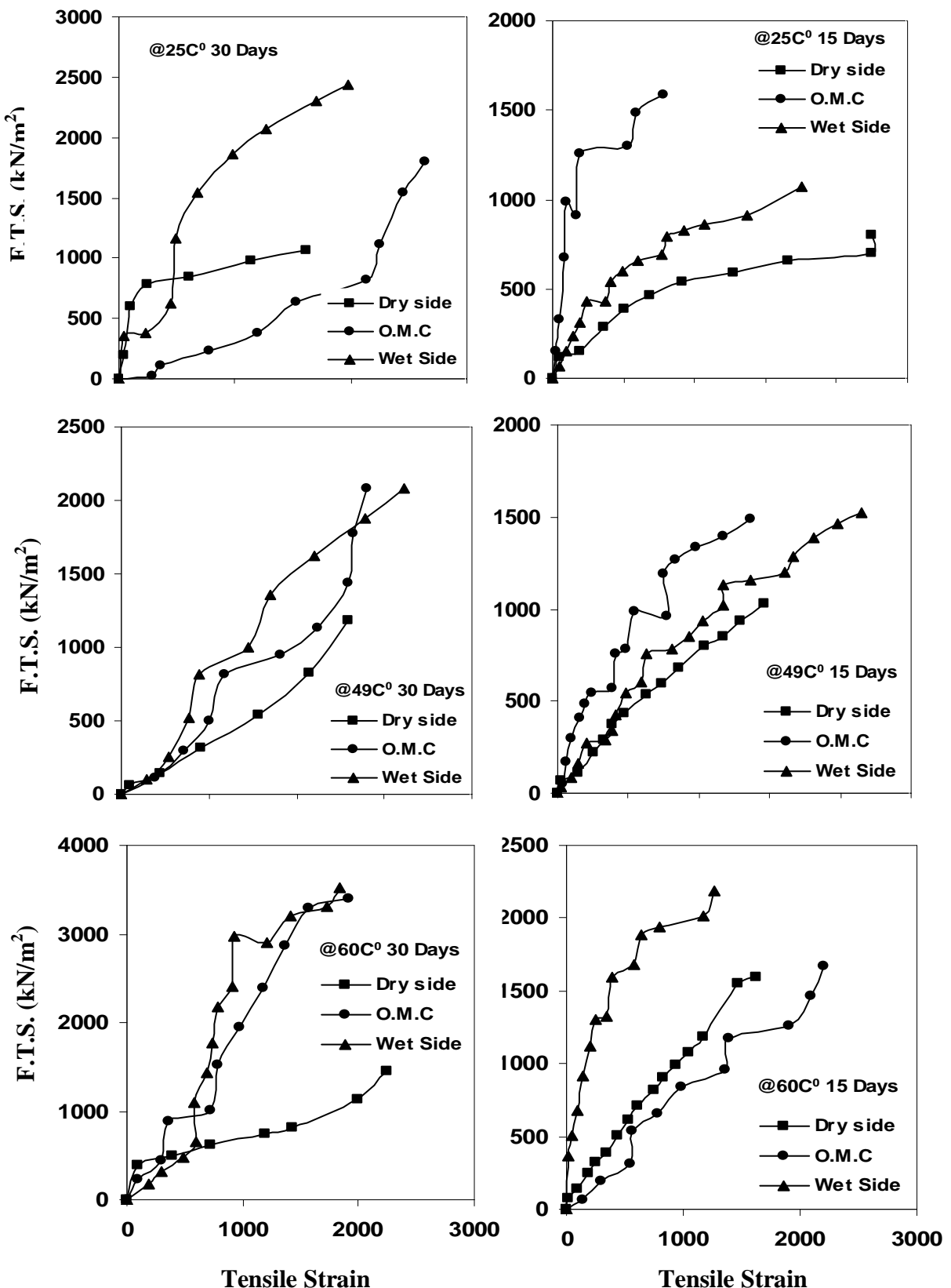


الشكل (3) منحنيات الإجهاد- الانفعال (حسب الطريقة المرنة)

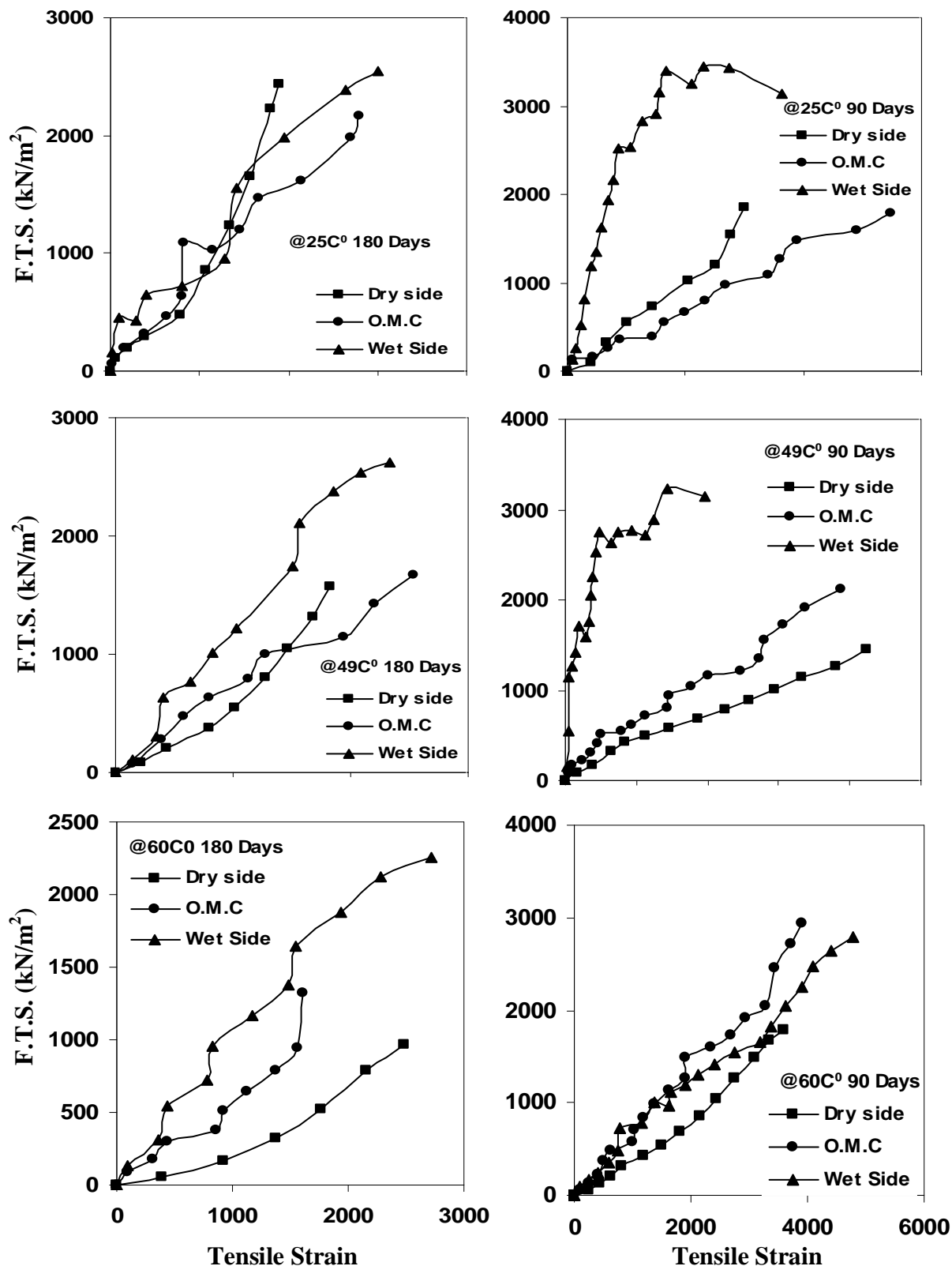


الشكل (5) منحنيات الإجهاد - الانفعال
حسب الطريقة المباشرة

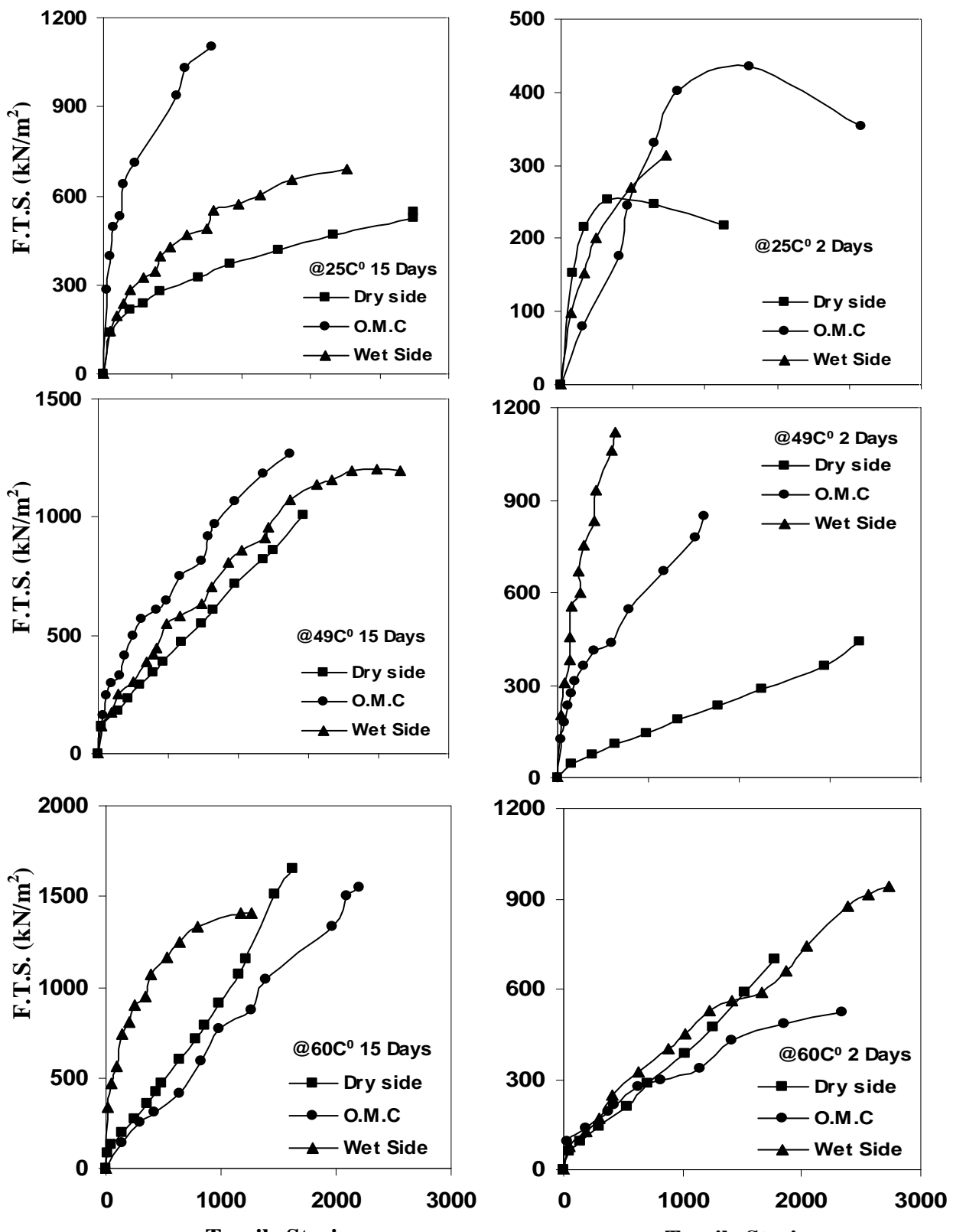
الشكل (4) منحنيات الإجهاد - الانفعال
حسب الطريقة المرنة



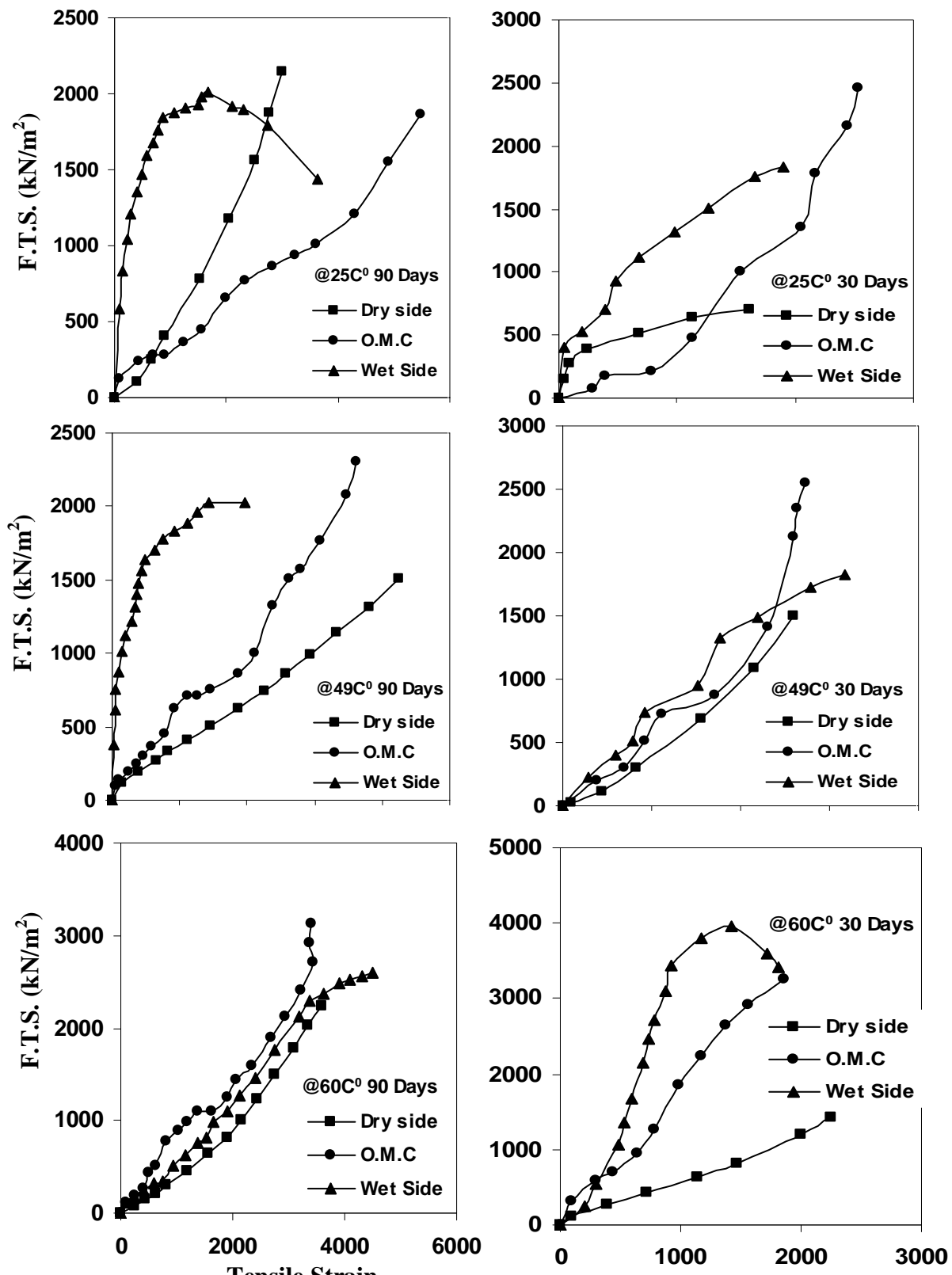
الشكل (6) منحنيات الإجهاد-الانفعال (حسب الطريقة المباشرة)



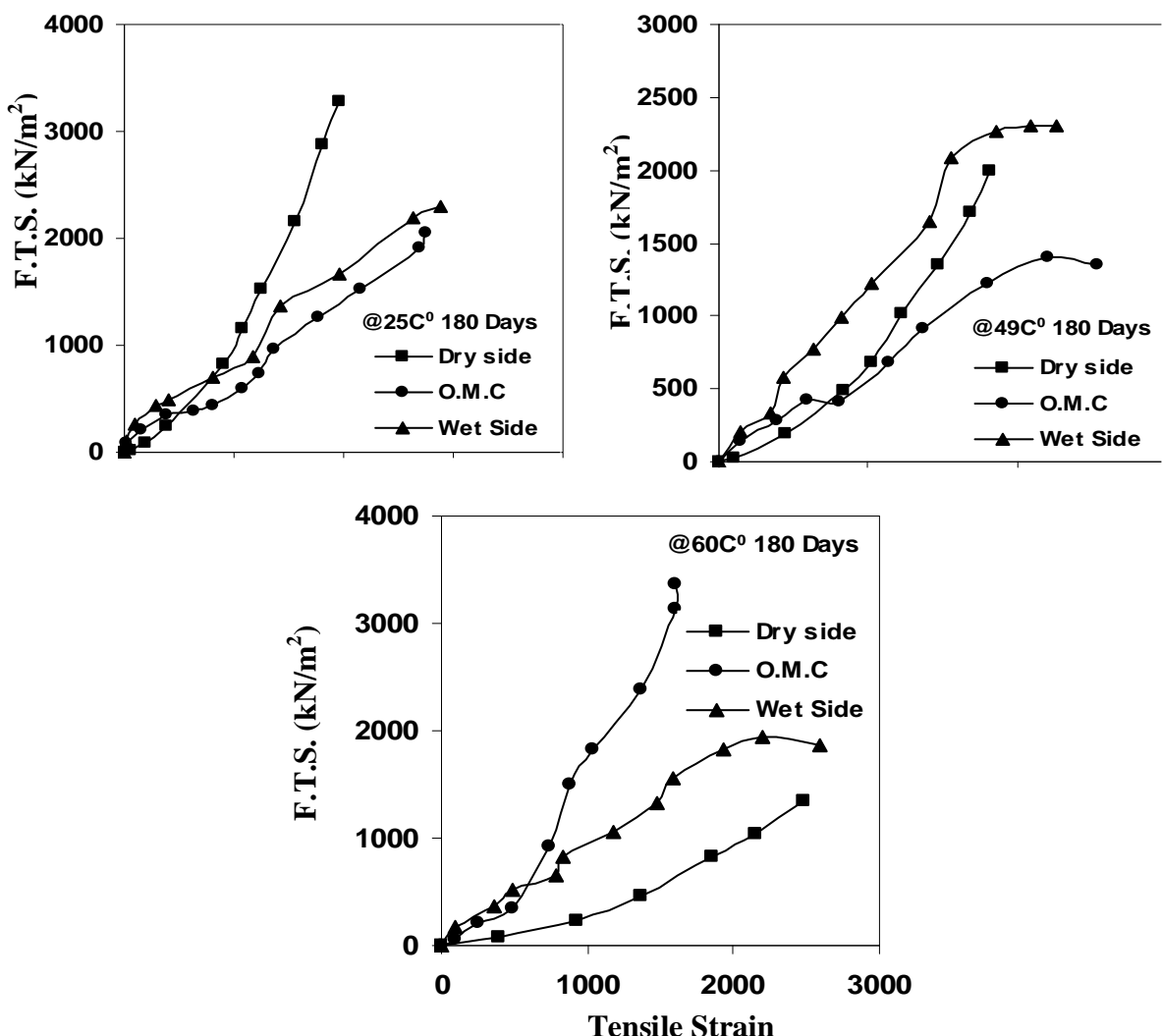
الشكل (7) منحنيات الإجهاد-الانفعال (حسب الطريقة المباشرة)



الشكل (8) منحنيات الإجهاد- الانفعال (حسب الطريقة التفاضلية)



الشكل (9) منحنيات الإجهاد-الإنفعال (حسب الطريقة التفاضلية)



الشكل (10) منحنيات الإجهاد-الانفعال (حسب الطريقة التفاضلية)

الجدول (3) التمثيل الرياضي لمقاومة شد الانثناء للنماذج المرصوصة عند الجانب الجاف من منحني الرص

Elastic Bending Theory Method	Temp. (C°)	Type of Equation	Order	R ² (%)
$\sigma_t = 317.37 \ln(T) - 7.9211$	25	Logarithm	-----	97.29
$\sigma_t = 0.0005(T)^3 - 0.1859(T)^2 + 21.979 (T) + 668.46$	49	Polynomial	3 rd	99.99
$\sigma_t = 0.0016(T)^3 - 0.540(T)^2 + 47.326 (T) + 732$	60	Polynomial	3 rd	99.33
Direct Method				
$\sigma_t = 318.99(T)^{0.3799}$	25	Power	-----	98.16
$\sigma_t = 237.42 \ln(T) + 369.61$	49	Logarithm	-----	99.72
$\sigma_t = 0.0013(T)^3 - 0.4711(T)^2 + 43.169 (T) + 739.21$	60	Polynomial	3 rd	81.59
Differential Method				
$\sigma_t = 118.68(T)^{0.6136}$	25	Power	-----	96.18
$\sigma_t = 328.26 \ln(T) + 208.5$	49	Logarithm	-----	94.49
$\sigma_t = -0.1424(T)^2 + 28.262 (T) + 864.91$	60	Polynomial	2 nd	81.14

T = فترة الإنضاج (يوم)

σ_t = مقاومة شد الانثناء (kN/m²)

6- الاستنتاجات

1. أن نسبة النورة التي أعطت أعلى مقاومة انتصاف غير محصور هي (3%) ، ونفس النسبة أعطت أعلى مقاومة شد.
2. أعطت الطريقة المرنّة والطريقة المباشرة وبصورة عامة قيم مقاربة لمقاومة شد الانشاء، في حين أعطت الطريقة القاضلية قيم أقل، إذ كانت مقاومة شد الانشاء للنماذج المرصوصة بالمحتوى الرطوبي الأمثل ومنضجة بدرجة حرارة (60 C°) لمدة (15) يوم هي (1646, 1672, 1552 kN/m²) حسب الطريقة المرنّة، المباشرة والتراضلية على التوالي. كذلك كانت منحنيات الإجهاد-الانفعال المحسوبة بالطريقة المرنّة منتظمّة، أما المنحنيات المحسوبة بالطريقة المباشرة والطريقة القاضلية فقد كانت غير منتظمّة، ماعدا النماذج التي تم رصها بالمحتوى الرطوبي الذي يمثل الجانب الجاف من منحني الرص.
3. تعتبر الطريقة المباشرة طريقة مناسبة لإيجاد العلاقة بين الإجهاد-الانفعال وإيجاد قيم مقاومة شد الانشاء مع ظروف الإنصالح وقيم الرطوبة المختلفة.

- المصادر

- 1 Ingles O. G. and Metcalf J. B. "Soil Stabilization Principles and Practice" Sydney, Butterworth, (1972).
- 2 Sobhan, K. and Mashnad, M. "Fatigue Durability of Stabilized Recycled Aggregate Base Course Containing Fly Ash and Waste-Plastic Strip Reinforcement", Final Report, Recycled Materials Resource Center, University of New Hampshire, (2000).
- 3 Fossbery, P. E. Mitchell, J. K. and Mouismith, C. L. "Cracking and Edge-Loading Effects on Stresses and Deflections in a Soil Cement Pavement", HRR, No.379, (1972).
- 4 Ajaz, A. and Parry, R. H. G. "Stress-Strain Behaviour of Two Compacted Clays in Tension and Compression", Journal of Geotechnical Engg., ASCE, Vol.25, No.3, (1975 a), pp.495-512.
- 5 Consoli, N. C. Prietto, P. D. M. Carraro, J. A. H. and Heineck, K. S. "Behavior of Compacted Soil-Fly Ash Carbide Lime Mixture", Journal of Geotechnical and Geoenviromental Engg., ASCE, Vol.127, No.9, (2001), PP.774-782.
- 6 Little, D.N. "Handbook for Stabilization of Pavement Sub Grade and Base Courses with Lime", Kendall Hunt Publishing Company, Iowa, USA, by National Lime Association, (1995).
- 7 Ajaz, A. and Parry, R. H. G. "Analysis of Bending Stresses in soil Beams", Journal of Geotechnical Engg., ASCE, Vol.25, No.3, (1975 b), pp.286-291.
- 8 Ajaz, A. and Parry, R. H. G. "Bending Tests for Compacted Clays", Journal of Geotechnical Engg., ASCE, Vol.102, No.GT9, (1976), pp.929.
- 9 Jaro, M. N. "Effect of Fine Material on the Tensile Strength Properties of Unstabilized and Cement-Stabilized Granular Soil", M. Sc. Thesis, Civil Engineering Department, College of Engineering, University of Mosul, (2000).

تم اجراء البحث في كلية الهندسة - جامعة الموصل